

Скорость распространения (групповая скорость) в неподвижной среде получается дифференцированием соотношения  $ck = \omega n(\omega)$  и равна

$$\mathbf{u}_0 = \frac{c}{d(n\omega)/d\omega} \mathbf{l}. \quad (3)$$

В движущейся среде она получается дифференцированием соотношения (2), которое предварительно переписываем в виде

$$k = \frac{\omega}{c} n + \mathbf{k}\mathbf{v} \left( \frac{1}{cn} - \frac{1}{u_0} \right).$$

Снова с точностью до членов первого порядка находим

$$u = u_0 + \mathbf{l}(\mathbf{l}\mathbf{v}) \left( \frac{u_0}{cn} - \frac{u_0^2}{c^2} - \frac{n\omega}{c} \frac{du_0}{d\omega} \right) + v \left( 1 - \frac{u_0}{cn} \right). \quad (4)$$

При распространении света в направлении движения среды ( $\mathbf{v} \parallel \mathbf{l}$ ) имеем отсюда<sup>1)</sup>

$$u = u_0 + v \left( 1 - \frac{u_0^2}{c^2} \right) - \frac{cn\omega}{c} \frac{du_0}{d\omega}. \quad (5)$$

Первые два члена могут быть получены просто путем применения релятивистской формулы сложения скоростей. Если же  $\mathbf{v}$  и  $\mathbf{l}$  взаимно перпендикулярны:

$$\mathbf{u} = \mathbf{u}_0 + \mathbf{v} \left( 1 - \frac{u_0}{cn} \right). \quad (6)$$

Фазовая скорость волны получается из (2) в виде

$$\frac{\omega}{k} = \frac{c}{n} + \mathbf{v}\mathbf{l} \left( 1 - \frac{1}{n^2} + \frac{\omega}{n} \frac{dn}{d\omega} \right).$$

При  $\mathbf{v} \perp \mathbf{l}$  эффект первого порядка в ней отсутствует.

## § 86. Отражение и преломление волн

Рассмотрим отражение и преломление монохроматической плоской электромагнитной волны на плоской границе раздела между однородными средами. Падение происходит из прозрачной среды (среда 1); для второй же среды предположения о прозрачности пока делать не будем. Будем отмечать величины, относящиеся к падающей и отраженной волнам, соответственно индексами 0 и 1, а к преломленной волне — индексом 2 (рис. 46). Направление нормали к плоскости раздела выберем в качестве оси  $z$  (с положительным направлением в глубину среды 2).

Ввиду полной однородности в плоскости  $xy$ , зависимость решения уравнений поля от этих координат во всем пространстве должна быть одинаковой. Это значит, что компоненты  $k_x$ ,  $k_y$  волнового вектора для всех трех волн одинаковы. Отсюда сле-

<sup>1)</sup> Эта формула описывает так называемый *эффект Физо*, впервые предсказанный *Френелем* (А. Fresnel, 1818). Влияние дисперсии на этот эффект рассмотрено *Лорентцем* (H. A. Lorentz, 1895).

дует прежде всего, что направления распространения всех волн лежат в одной плоскости; выберем ее в качестве плоскости  $xz$ .

Из равенств

$$k_{0x} = k_{1x} = k_{2x} \quad (86,1)$$

следует для  $z$ -компонент этих векторов:

$$\begin{aligned} k_{1z} &= -k_{0z} = -\frac{\omega}{c} \sqrt{\varepsilon_1} \cos \theta_0, \\ k_{2z} &= \sqrt{\frac{\omega^2}{c^2} \varepsilon_2 - k_{0x}^2} = \frac{\omega}{c} \sqrt{\varepsilon_2 - \varepsilon_1 \sin^2 \theta_0}; \end{aligned} \quad (86,2)$$

в обеих средах полагаем  $\mu = 1$ . Вектор  $\mathbf{k}_0$ , по определению, веществен. Вместе с ним веществен также  $\mathbf{k}_1$ . Величина же  $k_{2z}$  в поглощающей среде комплексна, причем корень должен быть взят с таким знаком, чтобы было  $\text{Im } k_{2z} > 0$  в соответствии с тем,

что преломленная волна затухает в глубь среды 2.

Если прозрачны обе среды, то из равенств (86,1) следуют известные законы отражения и преломления

$$\theta_1 = \theta_0, \quad \frac{\sin \theta_2}{\sin \theta_0} = \sqrt{\frac{\varepsilon_1}{\varepsilon_2}} = \frac{n_1}{n_2}. \quad (86,3)$$

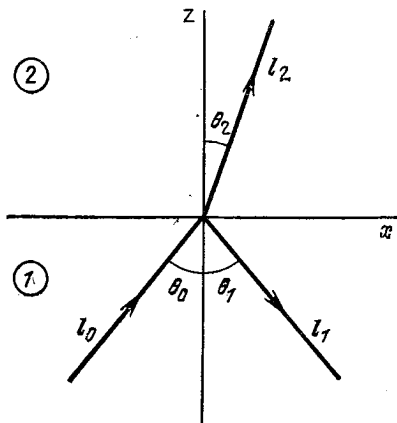


Рис. 16.

Для определения амплитуд отраженной и преломленной волн надо обратиться к граничным условиям на поверхности раздела ( $z=0$ ). При этом мы рассмотрим отдельно два случая—когда электрическое поле  $\mathbf{E}_0$  лежит в плоскости падения или перпендикулярно к ней; тем самым мы рассматриваем и общий случай, когда  $\mathbf{E}_0$  может быть разложено на две такие компоненты.

Предположим сначала, что  $\mathbf{E}_0$  перпендикулярно к плоскости падения; из соображений симметрии очевидно, что то же будет относиться и к полям  $\mathbf{E}_1$  и  $\mathbf{E}_2$  в отраженной и преломленной волнах. Вектор же  $\mathbf{H}$  лежит в плоскости  $xz$ . Граничные условия требуют непрерывности  $E_y = E$  и  $H_x$ <sup>1)</sup>; согласно (83,3)  $H_x = -ck_z E_y / \omega$ .

<sup>1)</sup> Граничные условия для нормальных компонент  $\mathbf{B}$  и  $\mathbf{D}$  не дают в данном случае ничего нового, в соответствии с тем, что уравнения  $\text{div } \mathbf{B} = 0$ ,  $\text{div } \mathbf{D} = 0$  являются следствием уравнений (83,1).

Поле в среде 1 есть сумма полей падающей и отраженной волн, так что мы получаем два уравнения:

$$E_0 + E_1 = E_2, \quad k_{0z}(E_0 - E_1) = k_{2z}E_2.$$

Экспоненциальные множители в  $E$  сокращаются в обеих сторонах равенства ввиду одинаковости  $k_x$  (а также частоты  $\omega$ ) во всех трех волнах; ниже под  $\mathbf{E}$  подразумеваются везде комплексные амплитуды волн. Решение написанных уравнений приводит к следующим формулам Френеля:

$$\begin{aligned} E_1 &= \frac{k_{0z} - k_{2z}}{k_{0z} + k_{2z}} E_0 = \frac{\sqrt{\varepsilon_1} \cos \theta_0 - \sqrt{\varepsilon_2 - \varepsilon_1 \sin^2 \theta_0}}{\sqrt{\varepsilon_1} \cos \theta_0 + \sqrt{\varepsilon_2 - \varepsilon_1 \sin^2 \theta_0}} E_0, \\ E_2 &= \frac{2k_{0z}}{k_{0z} + k_{2z}} E_0 = \frac{2\sqrt{\varepsilon_1} \cos \theta_0}{\sqrt{\varepsilon_1} \cos \theta_0 + \sqrt{\varepsilon_2 - \varepsilon_1 \sin^2 \theta_0}} E_0. \end{aligned} \quad (86,4)$$

Если прозрачны обе среды, то с помощью соотношений (86,3) можно представить эти формулы в виде

$$E_1 = \frac{\sin(\theta_2 - \theta_0)}{\sin(\theta_2 + \theta_0)} E_0, \quad E_2 = \frac{2 \cos \theta_0 \sin \theta_2}{\sin(\theta_2 + \theta_0)} E_0. \quad (86,5)$$

Аналогичным образом можно рассмотреть случай, когда  $\mathbf{E}$  лежит в плоскости падения; при этом удобнее производить вычисления для магнитного поля, перпендикулярного к плоскости падения. В результате получаются еще две формулы Френеля:

$$\begin{aligned} H_1 &= \frac{\varepsilon_2 k_{0z} - \varepsilon_1 k_{2z}}{\varepsilon_2 k_{0z} + \varepsilon_1 k_{2z}} H_0 = \frac{\varepsilon_2 \cos \theta_0 - \sqrt{\varepsilon_1(\varepsilon_2 - \varepsilon_1 \sin^2 \theta_0)}}{\varepsilon_2 \cos \theta_0 + \sqrt{\varepsilon_1(\varepsilon_2 - \varepsilon_1 \sin^2 \theta_0)}} H_0, \\ H_2 &= \frac{2\varepsilon_2 k_{0z}}{\varepsilon_1 k_{2z} + \varepsilon_2 k_{0z}} H_0 = \frac{2\varepsilon_2 \cos \theta_0}{\varepsilon_2 \cos \theta_0 + \sqrt{\varepsilon_1(\varepsilon_2 - \varepsilon_1 \sin^2 \theta_0)}} H_0. \end{aligned} \quad (86,6)$$

Если прозрачны обе среды, то эти формулы можно представить в виде

$$H_1 = \frac{\operatorname{tg}(\theta_0 - \theta_2)}{\operatorname{tg}(\theta_0 + \theta_2)} H_0, \quad H_2 = \frac{\sin 2\theta_0}{\sin(\theta_0 + \theta_2) \cos(\theta_0 - \theta_2)} H_0. \quad (86,7)$$

Коэффициент отражения  $R$  определяется как отношение среднего (по времени) отраженного от поверхности потока энергии к падающему потоку. Каждый из этих потоков дается средним значением  $z$ -компоненты вектора Пойнтинга (83,11) соответствующей волны:

$$R = \frac{\sqrt{\varepsilon_1} \cos \theta_1 |E_1|^2}{\sqrt{\varepsilon_1} \cos \theta_0 |E_0|^2} = \frac{|E_1|^2}{|E_0|^2}.$$

При нормальном падении ( $\theta_0 = 0$ ) оба случая поляризации эквивалентны и коэффициент отражения дается формулой

$$R = \left| \frac{\sqrt{\varepsilon_1} - \sqrt{\varepsilon_2}}{\sqrt{\varepsilon_1} + \sqrt{\varepsilon_2}} \right|^2. \quad (86,8)$$

Эта формула справедлива как для прозрачной, так и для поглощающей отражающей среды. Если ввести  $n_2$  и  $\kappa_2$  согласно  $\sqrt{\varepsilon_2} = n_2 + i\kappa_2$ , то, например, при падении из пустоты ( $\varepsilon_1 = 1$ ) получим

$$R = \frac{(n_2 - 1)^2 + \kappa_2^2}{(n_2 + 1)^2 + \kappa_2^2}. \quad (86,9)$$

Дальнейшее обсуждение полученных формул произведем в предположении прозрачности обеих сред. Предварительно сделаем следующее общее замечание. Граница раздела между двумя различными средами представляет собой в действительности не геометрическую поверхность, а тонкий переходный слой. Справедливость формул (86,1) не связана с какими бы то ни было предположениями о характере этого слоя. Вывод же формул Френеля, основанный на использовании условий на границе раздела, предполагает малость толщины переходного слоя  $\delta$  по сравнению с длиной волны  $\lambda$ . Обычно толщина  $\delta$  сравнима с межуатомными расстояниями, во всяком случае малыми по сравнению с  $\lambda$  (в противном случае было бы вообще невозможным макроскопическое рассмотрение поля); поэтому и условие  $\lambda \gg \delta$  обычно выполняется. В обратном же предельном случае явление преломления имело бы совсем другой характер. При  $\delta \gg \lambda$  выполнены условия применимости геометрической оптики ( $\lambda$  мало по сравнению с размерами неоднородностей среды). Поэтому в таком случае можно было бы рассматривать распространение волны как распространение лучей, испытывающих в переходном слое рефракцию, но проходящих через него без всякого отражения. Другими словами, коэффициент отражения был бы равен нулю.

Вернемся к формулам Френеля. При отражении от прозрачной среды коэффициенты пропорциональности между  $\mathbf{E}_1$ ,  $\mathbf{E}_2$  и  $\mathbf{E}_0$  в этих формулах вещественны<sup>1)</sup>. Это значит, что фаза волны либо остается неизменной, либо испытывает скачок на  $\pi$ , смотря по знаку этих коэффициентов. В частности, фаза преломленной волны всегда совпадает с фазой падающей волны. Отражение же может сопровождаться изменением фазы<sup>2)</sup>. Так, при нормальном падении фаза волны не меняется, если  $\varepsilon_1 > \varepsilon_2$ . Если же  $\varepsilon_2 > \varepsilon_1$ , то векторы  $\mathbf{E}_1$  и  $\mathbf{E}_0$  имеют противоположные знаки, т. е. происходит изменение фазы волны на  $\pi$ .

<sup>1)</sup> Мы оставляем пока в стороне случаи так называемого полного отражения (см. ниже).

<sup>2)</sup> Отражение от поглощающей среды приводит, вообще говоря, к возникновению эллиптической поляризации. Явные выражения для амплитудных и фазовых соотношений между тремя волнами при этом очень громоздки. Их можно найти в книге *Страттона Дж. А. Теория электромагнетизма*, гл. IX.— М.: ГТТИ, 1948 (*Stratton J. A. Electromagnetic Theory*, ch. IX.— N.Y.: McGraw-Hill, 1941).

Коэффициенты отражения при наклонном падении даются согласно (86,5) и (86,7) формулами

$$R_{\perp} = \frac{\sin^2(\theta_2 - \theta_0)}{\sin^2(\theta_2 + \theta_0)}, \quad R_{\parallel} = \frac{\operatorname{tg}^2(\theta_2 - \theta_0)}{\operatorname{tg}^2(\theta_2 + \theta_0)}. \quad (86,10)$$

Здесь и ниже индексы  $\perp$  и  $\parallel$  отмечают случаи, когда поле  $\mathbf{E}$  соответственно перпендикулярно или параллельно плоскости падения. Отметим следующую симметрию: выражения (86,10) не меняются при взаимной замене  $\theta_2$  и  $\theta_0$  (фазы же отраженных волн при этом меняются, согласно формулам (86,5) и (86,7), на  $\pi$ ). Другими словами, коэффициент отражения для волны, падающей из среды 1 под углом  $\theta_0$ , равен коэффициенту отражения для волны, падающей из среды 2 под углом  $\theta_2$ .

Замечательным свойством обладает отражение света, падающего под таким углом  $\theta_0$ , при котором  $\theta_0 + \theta_2 = \pi/2$  (отраженный и преломленный лучи при этом взаимно перпендикулярны). Обозначим это значение посредством  $\theta_p$ ; написав  $\sin \theta_p = \sin(\pi/2 - \theta_2) = \cos \theta_2$  и воспользовавшись законом преломления (86,3), получим

$$\operatorname{tg} \theta_p = \sqrt{\varepsilon_2/\varepsilon_1}. \quad (86,11)$$

При  $\theta_0 = \theta_p$  имеем  $\operatorname{tg}(\theta_0 + \theta_2) = \infty$  и  $R_{\parallel}$  обращается в нуль. Поэтому при любом направлении поляризации света, падающего под этим углом, отраженный свет будет поляризован так, что электрическое поле в нем перпендикулярно к плоскости падения. Таким же поляризованным будет отраженный свет и при падении естественного света; все компоненты с другой поляризацией при этом вообще не отразятся. Угол  $\theta_p$  называют *углом полной поляризации* или *углом Брюстера*. Отметим, что, в то время как отражение может приводить к полной поляризации естественного света, в преломленном свете полная поляризация не достигается ни при каком угле падения.

Отражение и преломление поляризованного света всегда приводит снова к плоскополяризованному свету, но с направлением поляризации, вообще говоря, не совпадающим с таковым у падающего света. Пусть  $\gamma_0$  — угол между направлением  $\mathbf{E}_0$  и плоскостью падения, а  $\gamma_1$  и  $\gamma_2$  — аналогичные углы для отраженной и преломленной волн. С помощью формул (86,5) и (86,7) легко получить соотношения

$$\operatorname{tg} \gamma_1 = -\frac{\cos(\theta_0 - \theta_2)}{\cos(\theta_0 + \theta_2)} \operatorname{tg} \gamma_0, \quad \operatorname{tg} \gamma_2 = \cos(\theta_0 - \theta_2) \operatorname{tg} \gamma_0. \quad (86,12)$$

Углы  $\gamma_0$ ,  $\gamma_1$ ,  $\gamma_2$  совпадают при всех углах падения лишь в очевидных случаях  $\gamma_0 = 0$  и  $\gamma_0 = \pi/2$ ; они совпадают также при нормальном ( $\theta_0 = \theta_2 = 0$ ) и скользящем ( $\theta_0 = \pi/2$ ) падениях (в последнем случае преломленная волна вообще отсутствует). Во всех же остальных случаях из (86,12) следуют (учитывая, что

$0 < \theta_0, \theta_2 < \pi/2$  и полагая, что  $0 < \gamma_0 < \pi/2$ ;  $0 < \gamma_1, \gamma_2 < \pi$ ) неравенства

$$\gamma_1 > \gamma_0 > \gamma_2.$$

Таким образом, направление  $\mathbf{E}$  при отражении поворачивается от плоскости падения, а при преломлении — к ней.

Сравнение двух формул (86,10) показывает, что при всех углах падения (за исключением только  $\theta_0 = 0$  и  $\theta_0 = \pi/2$ )

$$R_{\parallel} < R_{\perp}.$$

Поэтому, например, при падении естественного света отраженный свет оказывается частично поляризованным с преимущественным направлением электрического поля, перпендикулярным к плоскости падения. Преломленный же свет будет частично поляризованным с преимущественным направлением  $\mathbf{E}$  в плоскости падения.

Характер зависимости  $R_{\parallel}$  и  $R_{\perp}$  от угла падения существенно различен. Коэффициент  $R_{\perp}$  монотонно возрастает по мере увеличения  $\theta_0$ , начиная от значения (86,8) при  $\theta_0 = 0$ . Коэффициент же  $R_{\parallel}$ , равный тому же значению (86,8) при  $\theta = 0$ , по мере увеличения  $\theta_0$  сначала убывает, обращается в нуль при  $\theta_0 = \theta_p$  и лишь затем начинает монотонно возрастать.

При этом надо различать два случая. Если отражение происходит, как говорят, от *оптически более плотной* среды, т. е.  $\epsilon_2 > \epsilon_1$ , то возрастание  $R_{\parallel}$  и  $R_{\perp}$  продолжается вплоть до  $\theta_0 = \pi/2$  (*скользящее падение*), когда оба достигают значения 1. Если же отражающая среда *оптически менее плотная*,  $\epsilon_2 < \epsilon_1$ , то оба коэффициента обращаются в 1 уже при угле падения  $\theta_0 = \theta_r$ , где  $\theta_r$  определяется равенством

$$\sin \theta_r = \sqrt{\epsilon_2/\epsilon_1} = n_2/n_1 \quad (86,13)$$

и называется *предельным углом полного отражения*. При  $\theta_0 = \theta_r$  угол преломления  $\theta_2 = \pi/2$ , т. е. преломленная волна распространяется параллельно поверхности раздела.

Отражение под углами  $\theta_0 > \theta_r$  от оптически менее плотной среды требует особого рассмотрения. В этом случае  $k_{2z}$  (см. (86,2)) часто мнимо, т. е. поле в преломляющей среде затухает. Затухание волны в глубь среды при отсутствии в ней истинного поглощения (диссипации энергии) означает, что поток энергии из первой во вторую среду в среднем отсутствует (путем простого вычисления легко непосредственно убедиться в том, что вектор  $\bar{\mathbf{S}}$  среднего потока энергии во второй среде действительно имеет лишь  $x$ -компоненту). Другими словами, вся падающая на границу раздела энергия отражается обратно в первую среду, т. е. коэффициенты отражения

$$R_{\perp} = R_{\parallel} = 1.$$

Это явление называется *полным отражением*<sup>1)</sup>. В последнем равенстве для  $R_{\perp}$  и  $R_{\parallel}$  можно убедиться, разумеется, и непосредственно с помощью формул Френеля (86,4) и (86,6).

При  $\theta_0 > \theta_r$  коэффициенты пропорциональности между  $E_1$  и  $E_0$  становятся комплексными величинами вида  $(a - ib)/(a + ib)$ . Величины же  $R_{\perp}$  и  $R_{\parallel}$  даются квадратами модулей этих коэффициентов, равными единице. Эти формулы, однако, позволяют определить не только отношение абсолютных значений поля в отраженной и падающей волнах, но и разницу в их фазах. Для этого надо представить их в виде

$$E_{1\perp} = e^{-i\delta_{\perp}} E_{0\perp}, \quad E_{1\parallel} = e^{-i\delta_{\parallel}} E_{0\parallel}.$$

Имеем<sup>2)</sup>

$$\operatorname{tg} \frac{\delta_{\perp}}{2} = \frac{\sqrt{\varepsilon_1 \sin^2 \theta_0 - \varepsilon_2}}{\sqrt{\varepsilon_1 \cos \theta_0}}, \quad \operatorname{tg} \frac{\delta_{\parallel}}{2} = \frac{\sqrt{\varepsilon_1 (\varepsilon_1 \sin^2 \theta_0 - \varepsilon_2)}}{\varepsilon_2 \cos \theta_0}. \quad (86,14)$$

Таким образом, полное отражение сопровождается изменением фазы волны, различным, вообще говоря, для компонент поля, параллельной и перпендикулярной к плоскости падения. Поэтому при отражении волны, поляризованной в плоскости, наклонной к плоскости падения, отраженная волна будет эллиптически поляризована. Для разности фаз  $\delta = \delta_{\perp} - \delta_{\parallel}$  легко получается выражение

$$\operatorname{tg} \frac{\delta}{2} = \frac{\cos \theta_0 \sqrt{\varepsilon_1 \sin^2 \theta_0 - \varepsilon_2}}{\sqrt{\varepsilon_1 \sin^2 \theta_0}}. \quad (86,15)$$

Эта разность обращается в нуль лишь при  $\theta_0 = \theta_r$  и  $\theta_0 = \pi/2$ .

### Задачи

1. Найти закон обращения коэффициента отражения в 1 вблизи угла полного отражения.

Решение. Полагаем  $\theta_0 = \theta_r - \delta$ , где  $\delta$  — малая величина, и разлагаем в формулах (86,10)  $\sin \theta_0$  и  $\cos \theta_0$  по степеням  $\delta$ . В результате получаем:

$$R_{\perp} = 1 - 4 \sqrt{2\delta} (n^2 - 1)^{-1/4}, \quad R_{\parallel} = 1 - 4 \sqrt{2\delta} n^2 (n^2 - 1)^{-1/4},$$

где  $n^2 = \varepsilon_1/\varepsilon_2 > 1$ . Производные  $dR/d\delta$  обращаются при  $\delta \rightarrow 0$  в бесконечность как  $\delta^{-1/2}$ .

2. Найти коэффициент отражения при почти скользющем падении света из пустоты на поверхность тела с близким к 1 значением  $\varepsilon$ .

Решение. Формулы (86,10) дают одинаковый коэффициент отражения:

$$R_{\perp} \approx R_{\parallel} \approx \frac{(\varphi_0 - \sqrt{\varphi_0^2 - \varepsilon - 1})^4}{(\varepsilon - 1)^2},$$

где  $\varphi_0 = \pi/2 - \theta_0$ .

1) Коэффициент отражения всегда равен единице при отражении от среды с вещественным, но отрицательным  $\varepsilon$ . В такой среде тоже нет истинного поглощения, но волна не может проникнуть в глубь ее.

2) Если  $\frac{a-ib}{a+ib} = e^{-i\delta}$ , то  $\operatorname{tg} \frac{\delta}{2} = \frac{b}{a}$ .

3. Определить коэффициент отражения при падении волны из пустоты на границу среды с отличными от единицы  $\epsilon$  и  $\mu$ .

Решение. Вычисления, полностью аналогичные произведенным в тексте, приводят к результату:

$$R_{\perp} = \left| \frac{\mu \cos \theta_0 - \sqrt{\epsilon\mu - s \cdot n^2 \theta_0}}{\mu \cos \theta_0 + \sqrt{\epsilon\mu - s \cdot n^2 \theta_0}} \right|^2,$$

$$R_{\parallel} = \left| \frac{\epsilon \cos \theta_0 - \sqrt{\epsilon\mu - s \cdot n^2 \theta_0}}{\epsilon \cos \theta_0 + \sqrt{\epsilon\mu - s \cdot n^2 \theta_0}} \right|^2.$$

4. Плоскопараллельный слой вещества 2 находится между вакуумом (среда 1) и произвольной средой 3. Из вакуума на слой падает свет, поляризованный в плоскости падения (или перпендикулярно к ней). Выразить коэффициент отражения от слоя  $R$  через коэффициенты отражения при падении света на полубесконечную среду 2 или 3.

Решение. Обозначим посредством  $A_0$  и  $A_1$  амплитуды поля ( $\mathbf{E}$  или  $\mathbf{H}$  — смотря по тому, какой из этих векторов параллелен плоскости слоя) в падающей и отраженной волнах. Поле в слое складывается из преломленной волны (амплитуда  $A_2$ ) и волны, отраженной от границы 2—3 (амплитуда  $A_2'$ ). Граничное условие на поверхности 1—2 дает равенство вида

$$A_2' = a(A_1 - r_{12}A_0), \quad (1)$$

где  $a$  и  $r_{12}$  — постоянные. При отражении от полубесконечной среды 2 волна  $A_2'$  отсутствует, так что (1) дает  $r_{12} = A_1/A_0$ , т. е.  $r_{12}$  есть амплитуда отражения для этого случая. Еще одно уравнение получается из (1) перестановкой  $A_1$  с  $A_0$  и заменой  $A_2'$  на  $A_2$ , что соответствует просто изменению знака  $z$ -компоненты волнового вектора:

$$A_2 = a(A_0 - r_{12}A_1). \quad (2)$$

В среде 3 имеется только одна (прошедшая) волна. Для ее амплитуды  $A_3$  имеем условия

$$A_2 e^{i\psi} = aA_3, \quad A_2' e^{-i\psi} = -ar_{32}A_3 \quad (3)$$

(аналогичные условиям (1), (2) с  $A_1 = 0$ ); экспоненциальные множители учитывают изменение фазы волны на толщине слоя  $h$ , причем

$$\psi = \frac{\omega}{c} h \sqrt{\epsilon_2 - \sin^2 \theta_0}. \quad (4)$$

Исключая из уравнений (3)  $A_3$ , имеем

$$A_2' e^{-i\psi} = r_{23}A_2 e^{i\psi} \quad (5)$$

( $r_{23} = -r_{32}$ ).

Из уравнений (1), (2), (5) найдем амплитуду отражения от слоя:

$$r = \frac{A_1}{A_0} = \frac{r_{12} e^{-2i\psi} + r_{23}}{e^{-2i\psi} + r_{12} r_{23}} \quad (6)$$

(коэффициент отражения  $R = |r|^2$ ). Смысл постоянной  $r_{23}$  выясняется из того, что при  $h=0$   $r$  должно совпадать с амплитудой отражения  $r_{13}$  от полубесконечной среды 3; отсюда находим

$$r_{23} = \frac{r_{12} - r_{13}}{r_{12} r_{13} - 1}. \quad (7)$$

Формулы (6), (7) решают поставленную задачу. Подчеркнем, что их вывод не связан с какими-либо предположениями о свойствах сред 2 и 3, которые могут быть как прозрачными, так и поглощающими.



Если среды 2 и 3 прозрачны, то величины  $\psi$ ,  $r_{12}$ ,  $r_{13}$  вещественны, а  $r_{23}$  представляет собой амплитуду отражения на границе между полубесконечными средами 2 и 3. Из (6) имеем при этом

$$R = \frac{(r_{12} + r_{23})^2 - 4r_{12}r_{23} \sin^2 \psi}{(r_{12}r_{23} + 1)^2 - 4r_{12}r_{23} \sin^2 \psi}. \quad (8)$$

При изменении  $\psi$  эта величина меняется в пределах между

$$\left( \frac{r_{12} + r_{23}}{r_{12}r_{23} + 1} \right)^2 \quad \text{и} \quad \left( \frac{r_{12} - r_{23}}{r_{12}r_{23} - 1} \right)^2.$$

При нормальном падении света  $r_{12} = \frac{n_1 - n_2}{n_1 + n_2}$ , и аналогичные соотношения имеют место для  $r_{13}$  и  $r_{23}$ . Если  $n_2^2 = n_1 n_3$ , то  $r_{12} = r_{23}$  и при соответствующем выборе толщины слоя  $R$  может обратиться в нуль.

Если среда 3 является вакуумом, то  $r_{13} = 0$ ,  $r_{23} = -r_{12}$  и из (6) имеем

$$r = \frac{r_{12} (e^{-2i\psi} - 1)}{e^{-2i\psi} - r_{12}^2} = -\frac{\text{sh } i\psi}{\text{sh} [i\psi + \ln(-r_{12})]}. \quad (9)$$

Если при этом среда 2 прозрачна, то

$$R = \frac{4R_{12} \sin^2 \psi}{(1 - R_{12})^2 + 4R_{12} \sin^2 \psi}.$$

Коэффициент прохождения  $D$  через слой (из вакуума в вакуум) совпадает с  $1 - R$ , лишь если среда 2 прозрачна. В противном случае для вычисления  $D$  надо исходить из уравнений (1)–(3), положив в них  $r_{32} = r_{12}$ . «Амплитуда прохождения»  $d$  равна:

$$d = \frac{A_3}{A_0} = \frac{1 - r_{12}^2}{e^{-i\psi} - r_{12}^2 e^{i\psi}}, \quad (10)$$

а коэффициент прохождения  $D = |d|^2$ .

5. Определить коэффициенты отражения и прохождения при нормальном падении света на пластинку с очень большой комплексной диэлектрической проницаемостью  $\varepsilon$ .

Решение. В этом случае

$$r_{12} = \frac{1 - \sqrt{\varepsilon}}{1 + \sqrt{\varepsilon}} \approx -\left(1 - \frac{2}{\sqrt{\varepsilon}}\right),$$

и согласно формуле (9) предыдущей задачи

$$r = -\frac{1}{1 - (2/\sqrt{\varepsilon}) \text{cth } i\psi}, \quad \psi = \frac{\omega}{c} h \sqrt{\varepsilon}.$$

Если пластинка настолько тонка, что  $h\omega/c \ll 1/\sqrt{|\varepsilon|}$ , то можно написать

$$r = -\frac{1}{1 + (2ic/\varepsilon\omega h)}.$$

При этом можно еще различать два случая:

$$\text{при } \frac{1}{|\varepsilon|} \ll \frac{\omega}{c} h \ll \frac{1}{\sqrt{|\varepsilon|}} : R = 1 - \frac{4c}{\omega h} \frac{\varepsilon''}{|\varepsilon|},$$

$$\text{при } \frac{\omega}{c} h \ll \frac{1}{|\varepsilon|} : R = \frac{\omega^2 h^2}{4c^2} |\varepsilon|^2.$$

Для коэффициента прохождения имеем согласно формуле (10)

$$\begin{aligned} \text{при } \frac{\omega}{c} h \sim \frac{1}{\sqrt{|\varepsilon|}} : \quad d &= -\frac{2}{\sqrt{\varepsilon} \operatorname{sh} i\psi}, \\ \text{при } \frac{\omega}{c} h \ll \frac{1}{\sqrt{|\varepsilon|}} : \quad d &= \frac{1}{1 - i\varepsilon\omega h/2c}. \end{aligned}$$

В последнем случае можно еще различать

$$\begin{aligned} \text{при } \frac{1}{|\varepsilon|} \ll \frac{\omega}{c} h \ll \frac{1}{\sqrt{|\varepsilon|}} : \quad D &= \frac{4c^2}{\omega^2 h^2 |\varepsilon|^2}, \\ \text{при } \frac{\omega}{c} h \ll \frac{1}{|\varepsilon|} : \quad D &= 1 - \frac{\varepsilon''\omega h}{c}. \end{aligned}$$

## § 87. Поверхностный импеданс металлов

Диэлектрическая проницаемость металлов по своей абсолютной величине при не слишком больших частотах велика по сравнению с 1 (при  $\omega \rightarrow 0$  она стремится к бесконечности как  $1/\omega$ ). В этих условиях длина волны  $\delta \sim c/\omega \sqrt{|\varepsilon|}$  в металле мала по сравнению с длиной волны  $\lambda \sim c/\omega$  в пустоте<sup>1)</sup>. Если при этом  $\delta$  (но не обязательно  $\lambda$ ) мала также и по сравнению с радиусами кривизны поверхности металла, то этим обстоятельством можно воспользоваться для существенного упрощения задачи об отражении произвольных электромагнитных волн от металла.

Малость  $\delta$  означает, что производные от компонент поля внутри металла в направлении нормали к поверхности велики по сравнению с производными в тангенциальных направлениях. Поэтому поле внутри металла вблизи поверхности можно рассматривать как поле плоской волны и, соответственно, поля  $\mathbf{E}_t$  и  $\mathbf{H}_t$  связаны друг с другом соотношением

$$\mathbf{E}_t = \sqrt{\frac{\mu}{\varepsilon}} [\mathbf{H}_t \mathbf{n}], \quad (87,1)$$

где  $\mathbf{n}$  — нормаль к поверхности, направленная внутрь металла. Поскольку, с другой стороны,  $\mathbf{E}_t$  и  $\mathbf{H}_t$  непрерывны, то таким же соотношением должны быть связаны их значения для поля вне металла у его поверхности. Равенством (87,1) можно воспользоваться (как было указано *М. А. Леонтовичем*, 1948) в качестве граничного условия при определении поля вне проводника. Таким образом, внешнюю электромагнитную задачу можно решать, совершенно не рассматривая поля внутри металла.

<sup>1)</sup> Большие значения  $\sqrt{\varepsilon(\omega)}$  практически всегда являются комплексными. При этом электромагнитное поле затухает в глубь тела, так что длина волны в нем является в то же время глубиной проникновения поля. Если  $\varepsilon(\omega)$  выражается через проводимость  $\sigma$  (согласно (77,9)), то эта величина совпадает с глубиной проникновения, введенной в § 59.